

تطوير خوارزمية جديدة لجدولة مهام متعدد المعالجات المباشرة باستخدام تقنيات بحوث العمليات

Developing New Online Multiprocessor Scheduling Algorithm using Operations Research Techniques

د. قصي حميد السلامي¹ ، أ.أحمد محمد رؤوف²

¹جامعة جيهان - قسم إدارة الأعمال - أربيل - العراق.

²جامعة بنغازي - كلية تقنية المعلومات - قسم شبكات واتصالات الحاسوب - بنغازي - ليبيا.

qalsalmi72@yahoo.com

Received: 13.03.2013

Accepted: 21.08.2013

ABSTRACT- This paper details the process of developing a new algorithm for multi-processors task scheduling, and the simulation of such algorithm using one of queuing theory's models – from operations research science – to evaluate the behavior and efficiency of the new algorithm, and to compare simulation results with the ones from other common multi-processors task scheduling algorithms, using parameters from queuing theory in operations research. The comparison includes an analysis of CPU's behavior when receiving a number of jobs on four random-job-duration patterns (completely random, ascending random, descending random & inconstant random), using charts and diagrams, formed from each case's data using Excel 2010, which showed the convergence and divergence between those algorithms at the different patterns. The results of the comparison confirmed the efficiency of the new algorithm in enhancing and minimizing the waiting duration for each job at the total job queue of the CPU.

Keywords: Scheduling, Queuing Theory, Multi-Processors, Efficiency

المستخلص- تناقش هذه الورقة البحثية كيفية إعداد وعمل خوارزمية جديدة لجدولة مهام متعدد المعالجات أسوة ببقية خوارزميات الجدولة، ومن ثم العمل على محاكاة عمل تلك الخوارزمية بالاعتماد على أحدى نماذج نظرية صفوف الانتظار في علم بحوث العمليات لتقييم سلوك وكفاءة هذه الخوارزمية، ومقارنتها بنتائجها مع نتائج محاكاة البعض من طرق جدولة متعدد المعالجات المتعارف عليها، بهدف دراسة سلوك عمل المعالج في حالة استقباله عدداً من الأعمال على أربع فترات عشوائية مختلفة (عشوائي، تصاعدي، تنازلي، متقلب)، وتحليل سلوك كل حالة متعددة على الأشكال البيانية باستخدام البرنامج الإحصائي (Excel 2010) الذي تبين أماكن التقارب والاختلاف فيما بين هذه الخوارزميات خلال الفترات والقيم العشوائية المختلفة، حيث تمت المقارنة بالاعتماد على معاملات نماذج نظرية صفوف الانتظار، التي أظهرت كفاءة الخوارزمية المقترحة في تحسين سرعة معالجات الحاسوب بالياتها.

الكلمات المفتاحية: بحوث العمليات، صفوف الانتظار، خوارزمية KA، خوارزميات الجدولة، متعدد المعالجات.

تمهيد

تعتبر وحدة المعالجة المركزية الوحدة المسئولة على تنفيذ كافة العمليات الحسابية والمنطقية (تنفيذ البرامج)، ويفترض في هذه الوحدة أن تكون عاملة طوال الوقت (ما أمكن)، وعادة تقاس كفاءة استخدام وحدة المعالجة (CPU Utilization) [3] كنسبة للمهام التي تقع في هذه الوحدة والتي هي في حالة تنفيذ [1] حيث تكون خوارزميات جدولة المهام مسؤولة على توزيعها على المعالجات.

مشكلة البحث: هناك جدل كبير حول أفضلية استخدام عدد من المعالجات على شريحة واحدة والتي تدعى بمعالج متعدد الأنوية (Multi-Core Processor) أو استخدام معالجات منفصلة (Separate Processors) على لوحة أم واحدة (Mother Board)، يشرط ضمان توفر ناقل بيانات بسرعة عالية

جداً. الجدل يدور حول كيفية تحديد طريقة جدولة المهام التي تنتظر الدخول للمعالجات لأجل المعالجة، فال المشكلة هي كيفية إيجاد الخوارزمية المثلثي التي تقلل وقت التنفيذ الكلي للمهام الفرعية التي تتنافس لإنجازها، وهذا ما سيتم دراسته والتركيز عليه بشكل مستفيض في هذا البحث.

هدف البحث: هو إجراء محاكاة لعمل متعدد المعالجات، وذلك بتطبيق أحد أساليب بحوث العمليات لتحسين كفاءة جدولة صفوف الانتظار (Queuing Theory)، بهدف زيادة سرعة معالجات الحاسوب وذلك بإعداد خوارزمية جديدة مقتربة حل مشكلة جدولة المعالج أسوة ببقية خوارزميات الجدولة، ودراسة سلوكها ومدى تميزها عن بقية الخوارزميات.

خوارزميات جدولة متعدد المعالجات [9]

إن جدولة المهام هي عملية توزيع موارد المعالجات على المهام والنشاطات للوصول إلى الوضع المثالي لعمليات المعالجة، كأي عملية تأتي جدولة المهام لحل مشكلة ما، وتتعدد خصائص (مشكلة) جدولة المهام من العناصر الآتية: خصائص المهام والأنشطة المطلوب جدولتها، وخصائص المعالجات، والقيود على عمليات المعالجة، ومعيار الأمثلية المطلوب.

توفر عدة طرق لجدولة العمليات وعادة ينفذ جدول العمليات طرifice واحدة منها، ومن بينها^[2]:

خوارزمية جراهام لجدولة الفوائم Graham's List

Scheduling

التي ظهرت في أواسط السنتينيات، إذ تقوم هذه الخوارزمية على إسناد أي مهمة جديدة إلى المعالج الأقل حملاً، على افتراض أن المهام تُعطى في قائمة متسلسلة.

خوارزمية بارتال Bartal's Algorithm

فكرة العمل هي الحفاظ على انعدام موازنة الأحمال بين المعالجات، والاحتفاظ بعدد منها مع عدد قليل من المهام (بشكل أكثر دقة حوالي 44.5% على الأقل من المعالجات يجب أن تكون قليلة المهام (خفيفة)، بحيث أنه في حالة ظهور مهمة كبيرة سيكون من السهولة إسنادها إلى أحد المعالجات الخفيفة.

خوارزمية كارجر Karger's Algorithm

تعمل على اختيار معالج معين من ضمن قائمة موحدة وفقاً لشروط معينة تحقق عدم موازنة الأحمال على المعالجات، حيث تحافظ الخوارزمية دائمًا بقائمة محدثة للمعالجات مرتبة ترتيباً تصاعدياً وفقاً لارتفاعها.

خوارزمية البريس Albers's Algorithm

تحافظ الخوارزمية في أي لحظة على قائمتين: قائمة L_1 المكونة من $(m/2)$ للمعالجات الخفيفة، وقائمة L_2 المكونة من $(m/2)$ للمعالجات المشغولة، حيث يتم توجيه المهمة الجديدة إلى أقل المعالجات انشغالاً إما في L_1 أو L_2 بناءً على النسبة بين مجموعي الارتفاعات في القائمتين، وتقوم بالاحتفاظ بقائمة الجميع المعالجات مرتبة ترتيباً تصاعدياً بناءً على الارتفاع في ذلك الوقت.

خوارزمية فليسشر Fleischer's Algorithm

تقوم هذه الخوارزمية بالاحتفاظ بقائمة بجميع المعالجات مرتبة ترتيباً تنازلياً بناءً على الارتفاع بدلاً من الترتيب التصاعدي للخوارزميات السابقة.

إن مشكلة جدولة المهام هي عنصر أساسي لجعل أنظمة تعدد المعالجات المتوازية ذات أداء أفضل، ويتم ذلك بأن يُقرر متى ولأي معالج تُعطى المهمة لتنفيذها، إن مفهوم الجدولة ببساطة هو تخصيص مجموعة المهام إلى المصادر المختلفة للحصول على الأداء الأمثل، ويتم ذلك بتوزيع المهام بين المعالجات بأسلوب يحافظ على قيود الأس陛ية ويقلل وقت التنفيذ الكلي (Total time) ^{[10].}

تُدعى الوحدة القابلة للجدولة بالمهمة، وإن مولد المهام (Task Generator) يعمل على تجهيز المجدول بهذه المهام، تحت افتراض أن عدد المهام هي أكثر بكثير من عدد المعالجات

المتاحة. إن مولد المهام قد يكون أي نظام يعمل على تزويد مجموعة المهام إلى المجدول، وأن كل مهمة تحتاج إلى وقت معين للتنفيذ ومكان محدد توجه إليه بأمر من المجدول.^[5] لقد عمل ^[8] Susanne A. في عام 2000 على إجراء تجارب عملية لإختبار كفاءة أربع خوارزميات جدولة هي (List, Bartal, Albers, Karger) وذلك باستخدام أول بيانات لمهام حقيقة مأخوذة من عدة شركات حاسوب عاملة، وثانياً بيانات تم توليدتها من عدة دول احتمالية، لدراسة مدى تأثير ذلك على سلوك هذه الخوارزميات فيما بينها، وقد لاحظ أن ازيد معدل التحميل على المعالجات يعتمد على مقدار المهام الوالصة للنظام، هل هي أقل أو قريبة أو أكثر من مقدار معدل التحميل لأن ذلك يؤثر بشكل مباشر على أسلوب عمل كل خوارزمية وكيفية جدولة المهام على المعالجات. أن الشيء المميز الذي تم ملاحظته، أن جميع الخوارزميات تميل إلى حالة الاستقرار في سلوكها بشكل سريع عند استخدام البيانات الاحتمالية، بخلاف حالة الاستقرار المتأخرة التي قد يصل إليها النظام في حالة استخدام البيانات الحقيقة، وبعود السبب إلى أن البيانات الاحتمالية تسلك سلوك محدد يعتمد على الدالة الاحتمالية المستخدمة، بخلاف البيانات الحقيقة التي قد تسلك سلوك عشوائي لا يميل إلى دالة محددة، وقد أشار في نهاية دراسته إلى كفاءة خوارزميات (Bartal & Albers) بسبب سلوكها المستقر مقارنة بباقي الخوارزميات.

وقد قارن ^[7] Raihan A. في 2004 بين النسبة التنافسية لخمسة من خوارزميات الجدولة هي (List, Bartal, (Albers, Kargel, Fleischer)، وقد بين كيفية تقسيم المعالجات إلى مجموعات ذات حمل ثقيل والأخرى ذات حمل خفيف لأسباب تتعلق بكل خوارزمية، وفي نهاية دراسته أشار إلى كفاءة (Fleischer & Bartal) ويتبعها (Albers & List).

وناقش قصي الإسلامي ^[2] في 2012 كيفية سلوك الخوارزميات الخمسة السابقة مستخدماً نموذجين من نماذج نظرية صفوف الانتظار في بحوث العمليات لتحديد الخوارزمية المثلى، فعمل أولاً على محاكاة نموذج ($M/M/C/GD/\infty/\infty$)، وثانياً نموذج ($M/M/C/(NPRP/\infty/\infty)$) ذات نمط خدمة لعدم أحقيّة أولوية تقديم الخدمة ومقارنتها مع النتائج المأخوذة من محاكاة نموذج المعالجات متعددة النواة، وقد توصل إلى أن أفضل قيم للمعاملات قيد الدراسة لـ (Fleischer) قد كانت عند 10 و 15 دورة فلم ينافسها غير (List) بفارق بسيط، أما في حالة 5 دورات فقد تميزت (Bartal) وأقربت منها (Albers) بفارق الكسور العشرية ومتناقضهما الشديد هي (List).

خوارزمية KA المقترحة
لقد جاءت فكرة استخدام خوارزمية KA المقترحة⁽¹⁾ من خلال مراقبة الدراسة التطبيقية لسلوك الخوارزميات الأربع (List, Bartal, Albers, Fleischer) من محاكاة النموذج الأول ($M/M/C/GD/\infty/\infty$) باستخدام 9 معاملات، ومحاكاة

¹ جاء الأسم المختصر للخوارزمية المقترحة (KA) من الحرف الأول لأسم الباحث (KUSAY) والحرف الأول من اسم زميله (AHMAD).

النموذج الثاني ($M_i/M/C:(NPRP/∞/∞)$) باستخدام 15 مُعامل، تم ملاحظة كفاءة عمل خوارزمية (Fleischer) في المرتبة الأولى وبنتها خوارزمية (Bartal)، وأن هناك انقلاب يحدث في قيمة معامل عدم اتزان الأحمال () يحدث في قيمة معامل العلاج الأخف حملاً، وذلك لتكييفه بتنفذ المهمة أولاً، وهذا الانقلاب يحدث للخوارزميتين بالشكل التالي:

لخوارزمية (Fleischer) يحدث عند $\text{Min.}(0.123) \leq \text{NSR} \leq \text{Max.}(0.913)$

لخوارزمية (Bartal) يحدث عند $\text{Min.}(0.5349) \leq \text{NSR} \leq \text{Max.}(0.977)$

لهذا تم وضع شرط جديد يعمل على تشغيل الخوارزميتين وفق المبدأ التالي :

When time t=1: Run Fleischer

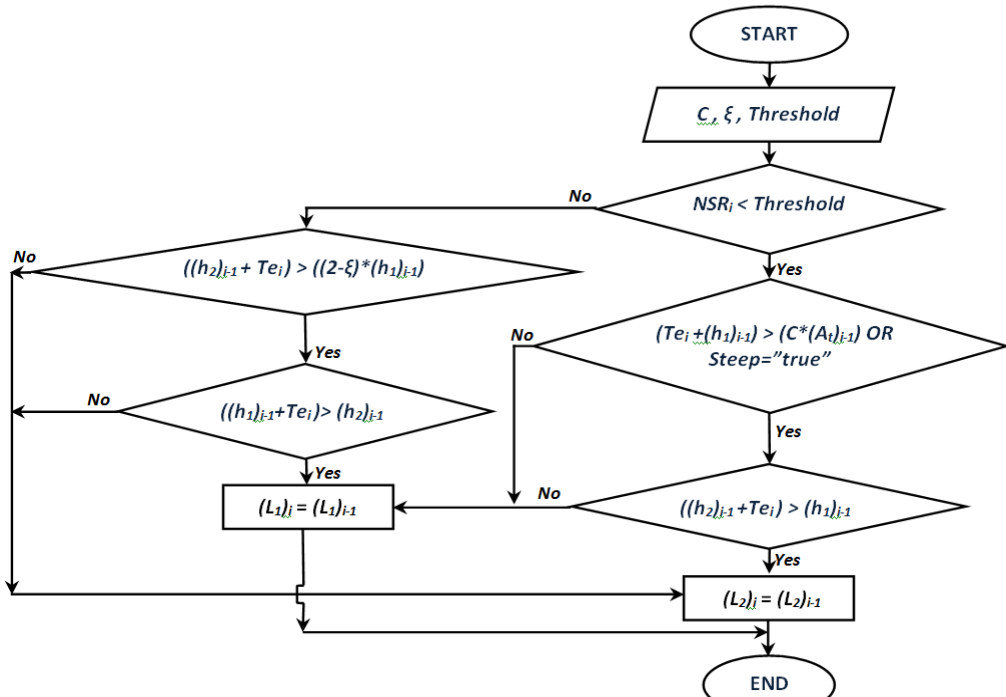
When time t=2: If NSR ≤ 0.3 (Min. Fleischer + 0.15) then Run Bartal

Else if NSR ≥ 0.6 (Min. Bartal + 0.1) then Run Fleischer

وبشى من التفصيل يمكن إعادة كتابة الشرط أعلاه وتعويض رموز الخوارزميتين وبالشكل التالي مع توضيح معنى كل رمز

جدول 1: يوضح معنى كل رمز مستخدم في خوارزمية KA

المعنى	الرمز	المعنى	الرمز
قائمة بأسماء المعالجات الثقيلة	$(L_1)_i$	معامل عدم اتزان الأحمال	NSR_i
قائمة بأسماء المعالجات الخفيفة	$(L_2)_i$	وقت الخدمة المطلوب على المعالج	Te_i
معدل ارتفاع صف الانتظار القائمة الثقلة للمعالج الأول	$(A_1)_i$	ارتفاع صف الانتظار القائمة الخفيفة للمعالج الأول	$(h_1)_i$
متغير منطقى قيمته true أو false	$Steep_i$	ارتفاع صف الانتظار القائمة الخفيفة للمعالج الثاني	$(h_2)_i$
متغير تتغير قيمته وفق نسق معين	$Threshold$	ثابت	$C=1.8$
		ثابت يمثل قيمة Epsilon	$\zeta = 0.5$



شكل 1: يوضح المخطط الانسيابي لخوارزمية KA

مستخدم في الخوارزميتين كما في جدول 1، أما شكل رقم (1) فإنه يوضح المخطط الانسيابي للخوارزمية المقترنة:

If (NSR_i < Threshold) then

*If { (Te_i + (h_i)_{i-1}) > (C * (A_i)_{i-1}) } OR { Elseif { (h₂)_{i-1} + Te_i) > ((2-ξ) * (h_i)_{i-1}) } then Steep = "true" } then*

If { (h₂)_{i-1} + Te_i) > (h₁)_{i-1} } then (h₂)_{i-1} Else (L₁)_{i-1}

Else (L₁)_{i-1}

If { $(h_1)_{i-1} + Te_i > (h_2)_{i-1}$ } then $(L_1)_{i-1}$ Else $(L_2)_{i-1}$
 Else $(L_2)_{i-1}$

لها شغلت خوارزمية (Fleischer) عند الزمن $t=1$ وتنسرم
 بالعمل إلى أن يحدث هناك فرق كبير بين توزيع الأحمال على
 المعالجين (حسب مبدأ عمل هذه الخوارزمية)، ولكن لا يسمح
 للوصول إلى الحد الأدنى لها وهو (Min. 0.123) بل إلى القيمة
 $(NSR \geq 0.3)$ ، لتشغل دورها (Bartal) وتنسرم
 الخوارزمية الأخيرة بالعمل إلى أن يقل الفرق بين توزيع
 الأحمال على المعالجين (حسب مبدأ هذه الخوارزمية)، ولكن لا
 يسمح للوصول إلى الحد الأعلى لها وهو (Max. 0.977) بل
 إلى القيمة ($NSR \leq 0.6$)، ليرجع الأمر إلى سابقة وتعمل
 على تكبير الفارق بين توزيع الأحمال على
 المعالجين، عندها يتم استخدام (Bartal) لتقليل الفارق وهكذا
 تستمرة هذه الخوارزمية المقترحة بالعمل على هذا المبدأ.
 سيتم دراسة سلوك خوارزمية KA ومعرفة كفاءتها في توزيع
 المهام على المعالجين أسوة ببقية الخوارزميات الأربع، والوقوف
 على نقاط القوة والضعف فيها، وذلك باستخدام التحليلات
 الإحصائية بالاعتماد على 15 معامل من المعاملات قيد الدراسة
 والتي استخدمت لتقدير الخوارزميات السابقة وهي :

$$\rho_1, \rho_2, \rho, Wq_1 * \mu, Wq_2 * \mu, Wq * \mu, Lq_1, Lq_2, Lq, Ws_1 * \mu, Ws_2 * \mu, Ws * \mu, Ls_1, Ls_2, Ls.$$

حيث تمأخذ أنواع مختلفة لعدد دورات المعالج (No. of cycles)، تعتمد في توليدتها على القيم الافتراضية لتجربة المحاكاة باستخدام ثلاثة قيم مختلفة لعدد الدورات هي (5, 10 and 15 cycles)، تم تطبيقها على خوارزمية KA.
 وتم افتراض وصول (164) مهمة مطلوب جدولتها على
 المعالجات المتاحة⁽²⁾. تحتاج هذه المهام إلى وقت تنفيذ بمعدل (2000) دورة معالج خلال (645) وحدة زمنية (هذه القيمة
 متغيرة وتعتمد على مقدار عدد الدورات هل هي 5 أو 10
 أو 15)، وللحصول على النتائج المطلوبة فقد تم استخدام برنامج
 أكسل (Excel 2010) لتقديم المخططات الإحصائية اللازمة
 لتحليل نتائج عملية المحاكاة التي تم القيام بها، حيث تم توليد
 القيم العشوائية للأوقات اللازمة لعملية محاكاة عدد الدورات التي
 تحتاجها كل مهمة لغرض أنجازها على

المعالج (Time in service)، وهي قيمة محصورة ما بين (1)^[4] إلى (30)، time in service ≤ 30 ، وتم الاعتماد على الدالة Randbetween (bottom, top) في برنامج أكسل لإرجاع رقم عشوائي صحيح محصور بين 1 و30، ويتم إرجاع رقم عشوائي صحيح جديد في كل مرة يتم فيها حساب أي خلية من

² ملاحظة: تم دراسة سلوك النظام بافتراض وصول 50 و100 و150 مهمة،
 إلى أن استقر سلوك النظام عند 164 مهمة، حيث تم وصول 164
 مهمة خلال (645cycles) في حالة (15cycles)، وتسلكهذهالتوزيعاتالشونانةنفسالسلوكلبقيةأنوعالدورات
 (5,10cycles/times) وتحتفظنهافقطويوصول 164 مهمة خلال (215cycles) في حالة (5cycles)، ووصول 164 مهمة خلال (430cycles) في حالة (10cycles).

خلايا برنامج أكسل، علماً أن هذا البرنامج يعتمد ضمئياً على العديد من الدوال الاحتمالية لتوليد الأرقام العشوائية، وما يخصنا الدالة Uniform (low, high) الممحصورة بين المدى [0,1] حسب الصيغة التالية :

$$Uniform (low , high) = low + (high - low) * RAND ()$$

حيث تم توليد أربع أشكال مختلفة لقيم عدد الدورات التي قد يصادفها المعالج (تمثل أسلوب الضغط على المعالج) وهي (عشوانية، تصاعدية، تناظرية، متقلبة)، ومن ثم إدخال المهام الواسلة كلاً حسب عدد الدورات التي تحتاجها وحسب نوع الخوارزمية إلى برنامج أكسل ليتم بالنتيجة جدولة هذه المهام على أحد المعالجات.

لقد تم تطبيق (12) حالة دراسية على نموذج $(M_r/M/C):(NPRP/\infty/\infty)$ ، بسبب استخدام 4 توزيعات للقيم العشوائية (عشوانية، تصاعدي، تناظري، متقلب High-Low) للفترة التي تحتاجها المهام القادمة للمعالجة داخل المعالجات، وكل توزيع قيم قد تعاملت مع 3 قيم مختلفة لعدد الدورات التي يحتاجها المعالج لمعالجة المهام القادمة، وهي (5, 10 و 15) دورة/وحدة زمنية، معتمدين على 15 معامل تخص نموذج صف الانتظار لتقدير سلوك وكفاءة خوارزمية KA.

إن نموذج صف الانتظار المشار إليه أعلاه يفترض أن جميع البيانات (المهام) يمتلكون نفس توزيع وقت الخدمة بغض النظر من يملك الأحقية المطلقة، وأن كل قنوات الخدمة تملك نفس التوزيع الأسوي لوقت الخدمة بمعدل خدمة μ ، وأن الوصول إلى صف الانتظار K ذو الأولوية الأكبر يكون بمعدل وصول λ ويتبع توزيع بواسون لكل قيم ($k = 1, 2, \dots, m$)، لهذا يمكن الحصول على مقاييس الفعالية التالية لصف الانتظار K بالشكل التالي:

$$W_q^{(k)} = \frac{1}{(1 - S_k)}$$

where $S_0 \equiv 0$ a

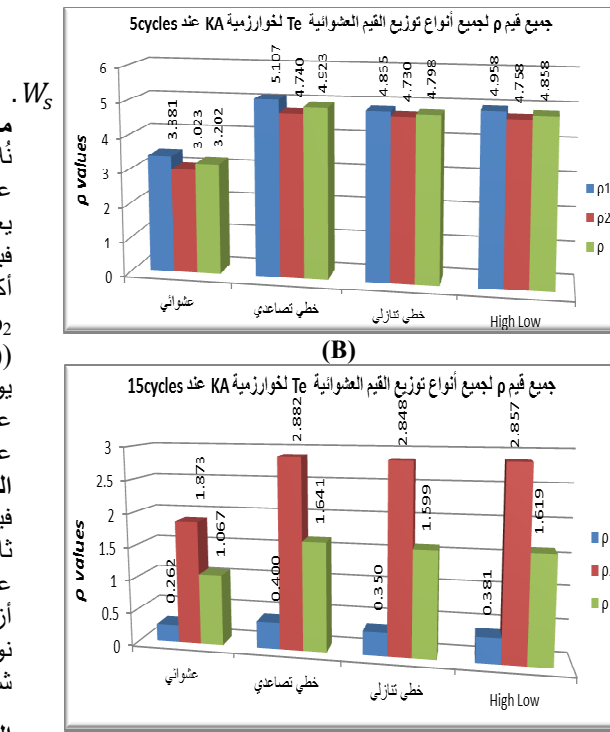
وللحصول على حالة الاستقرار يفضل أن تكون $\rho_i = \frac{\lambda_i}{C\mu}$ كذلك فإن $E\{\xi_0\} = \frac{1}{c\mu(\rho - c)(c - 1)! \sum_{n=0}^{c-1} \rho^n + 1}$ وأن وقت الانتظار المتوقع لأي زبون في صف الانتظار وبقية المقاييس هي:

$$W_q = \sum_{k=1}^m \frac{\lambda_k}{\lambda}$$

$$L_q = \lambda \cdot W_q,$$

$$L_q^{(k)} = \lambda_k \cdot W_q^{(k)}$$

$$W_s^{(k)} = W_q^{(k)} +$$

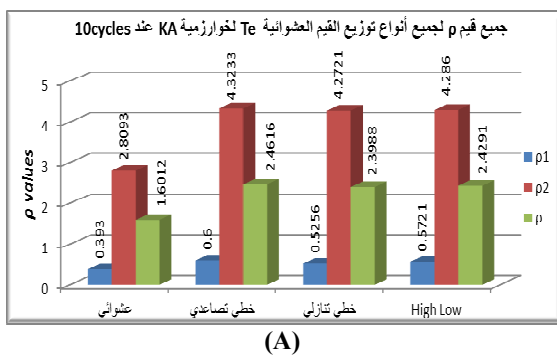


شكل 2: يوضح سلوك معامل كثافة الحركة لخوارزمية KA
(A) 10 cycles (B) 5 cycles (C) 15 cycles

القيمة المتوقعة لطول صاف الانتظار $Lq(t)$ فيما يتعلق بالزمن الذي تتنبأ الدورة الواحدة من التعليمية لكل ثانية (cycles/time) في المعالج، نلاحظ أن KA تسلك سلوكاً عكسياً واضح بعلاقة عدد الدورات وقيمة وقت الانتظار فكلما أزداد عدد الدورات قلت قيمة وقت الانتظار بغض النظر عن نوع التوزيعه (عشوائي، تنازلي، تصاعدي، متقلب)، كما في شكل (4).

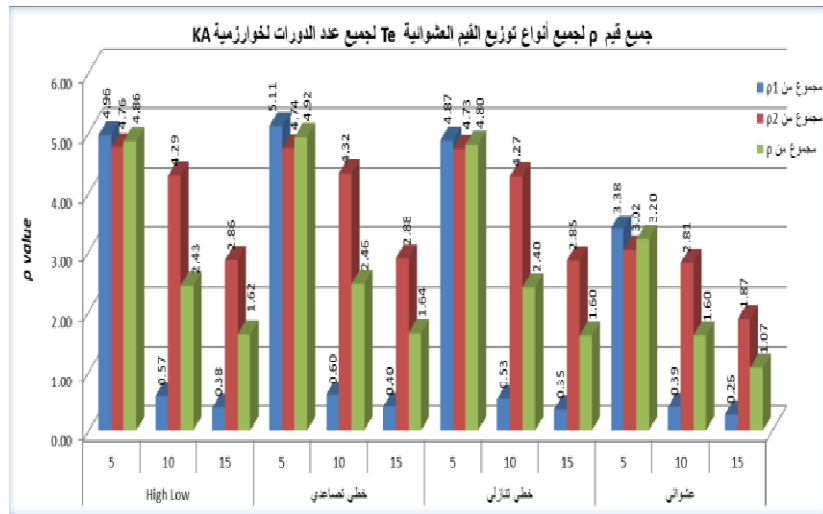
القيمة المتوقعة لعدد المهام التي يقدم لها الخدمة $Wq(t)$ فيما يتعلق بطول صاف الانتظار (Lq) للمهام التي تتنبأ تلقى الخدمة أمام المعالج، نلاحظ أن القيمة المتوقعة لعدد المهام لخوارزمية KA تسلك سلوكاً طردياً مع ازدياد عدد الدورات، بغض النظر عن نوع توزيع القيم العشوائية، فكلما أزداد عدد الدورات أزداد عدد المهام المنتظرة تلقى الخدمة أمام المعالج، كما في شكل (5).

القيمة المتوقعة لوقت انتظار مهمة ما في النظام Ws :
 أن القيمة المتوقعة لزمن انتظار مهمة ما في النظام KA قد حافظت على مستوى متقارب، وهو أدنى مستوى مقارنة ببقية الخوارزميات بغض النظر عن عدد الدورات ونوع التوزيع العشوائية، إلا حالة واحدة شاذة للتوزيعة التنازيلية لعدد الدورات 15 قد ارتفعت فيها قيمة وقت الانتظار إلى حد عالي، كما في شكل (6).

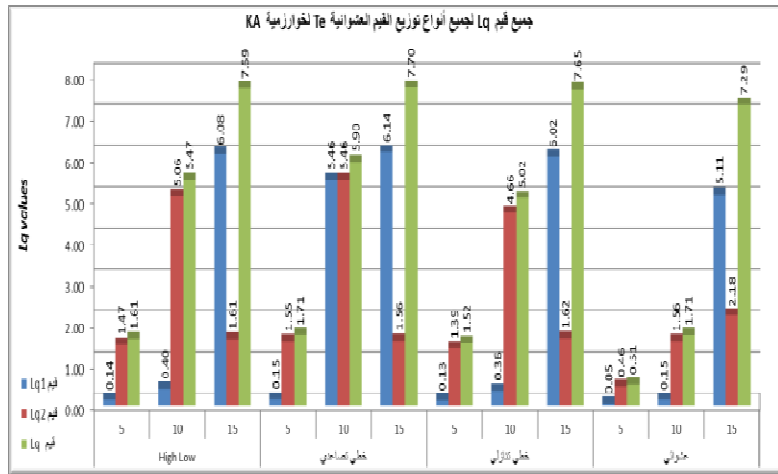


تحليل نتائج بيانات الانحراف المعياري لجميع الخوارزميات

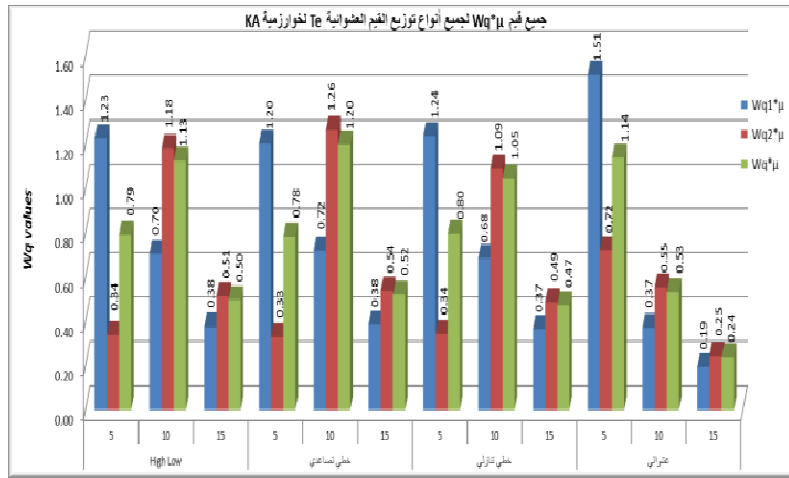
أن سلوك المعامل (Threshold) وتقلب قيمه متشابه في سلوكه (إلى حد بعيد)، وهو متعلق بكل نوع توزيعه سواء كانت (عشوائي، تصاعدي، تنازلي، متقلب) بغض النظر عن عدد الدورات، والذي يمكن توضيحه في جدول رقم (2). لقد تم أخذ جميع الحالات الدراسية لسلوك المعامل (Threshold) لخوارزمية KA ومقارنتها مع الخوارزميات الأربعه (Bartal, Albers, Fleischer List,)، حيث أن قيمة هذا المعامل تتغير حسب نوع توزيع القيم العشوائية وكما موضح في جدول رقم (2)، ونلاحظ أن لدينا (8 و 6 و 5 و 4) حالات للتوزيع العشوائية، المتقلبة، التصاعدية، التنازيلية على التوالي، أي تم دراسة 23 حالة دراسية لخوارزمية KA ومقارنتها مع الخوارزميات الأربعه، مع مراعاة أن كل خوارزمية لها قيمها الخاصة حسب (عدد دورات المعالج ونوع توزيع القيم العشوائية)، بهذا يمكن تحليل نتائج بيانات الانحراف المعياري لجميع الخوارزميات للمعاملات التالية :



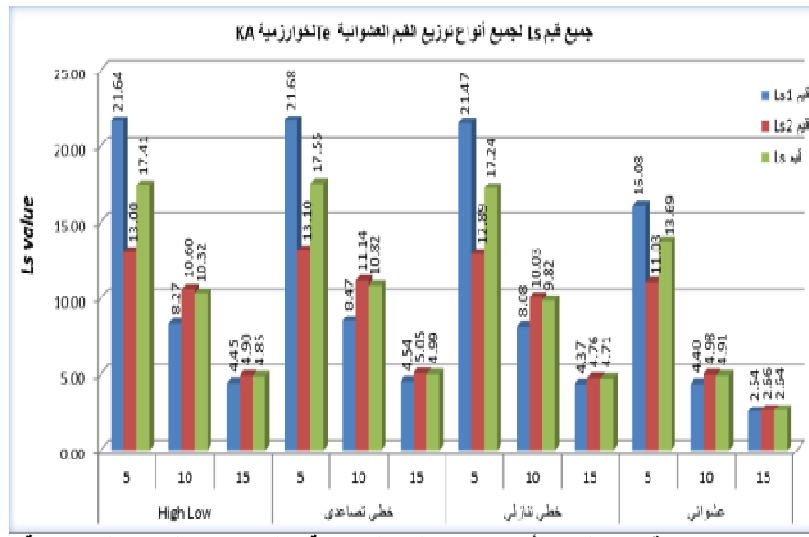
شكل 3: يوضح جميع قيم p لجميع أنواع توزيع القيم العشوائية Te لجميع عدد الدورات لخوارزمية KA



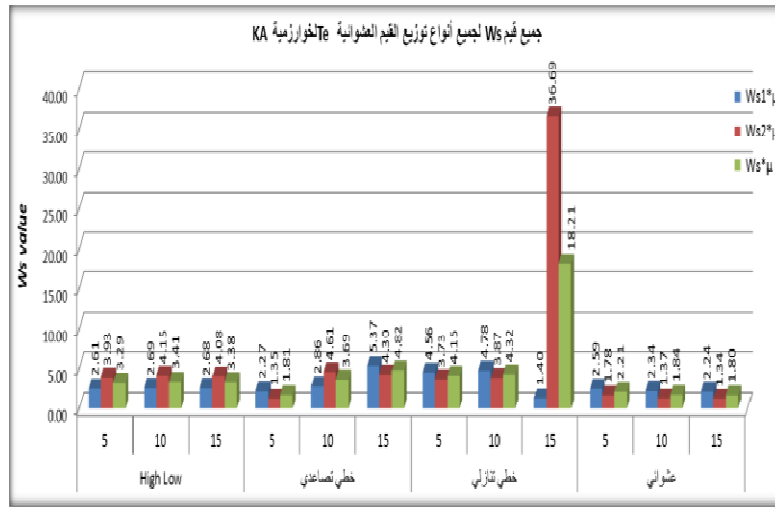
شكل 4: يوضح جميع قيم Wq لجميع أنواع توزيع القيم العشوائية Te لجميع عدد الدورات لخوارزمية KA



شكل 5: يوضح جميع قيم Lq لجميع أنواع توزيع القيم العشوائية Te لجميع عدد الدورات لخوارزمية KA



شكل 6: يوضح جميع قيم W_s لجميع أنواع توزيع القيم العشوائية Te لجميع عدد الدورات لخوارزمية KA



شكل رقم (7) يوضح جميع قيم Ls لجميع أنواع توزيع القيم العشوائية Te لجميع عدد الدورات لخوارزمية KA

1. كثافة الحركة (ρ_1, ρ_2, ρ)

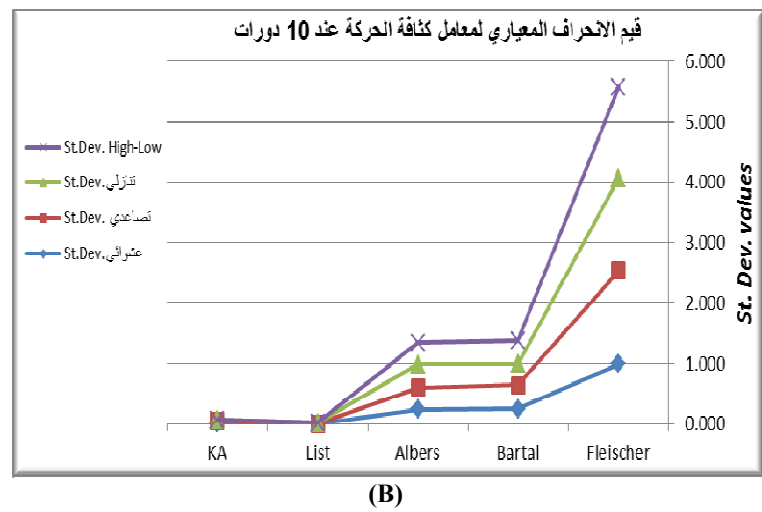
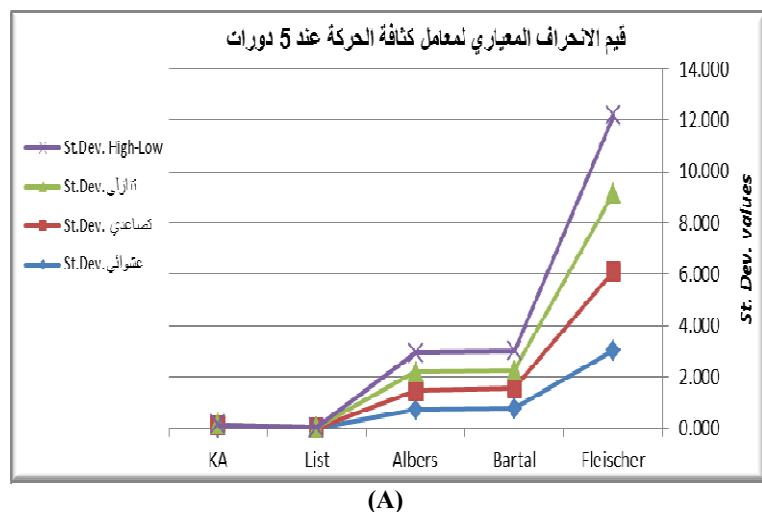
لقد أثبتت خوارزمية (List) بامتلاكها أقل انحراف معياري لمعاملات كثافة الحركة مساوية للصفر أو قريبة منه لجميع حالات عدد الدورات (5, 10, 15) ولمختلف توزيع القيم العشوائية، وهذا يعني أن هناك (12) (3 x 4 = 12) حالة مقارنة بين أنواع الخوارزميات الأربعية مقابل أفضل القيم لخوارزمية KA، وأن KA قد تطابقت أو كانت قريبة جداً من خوارزمية (List) في 8 حالات من أصل 12 حالة، ولم يصل إليهما أي من خوارزميات (Bartal, Albers & Fleischer)، ويمكن استنتاج الأشكال رقم (8(A,B,C)) الآتية.

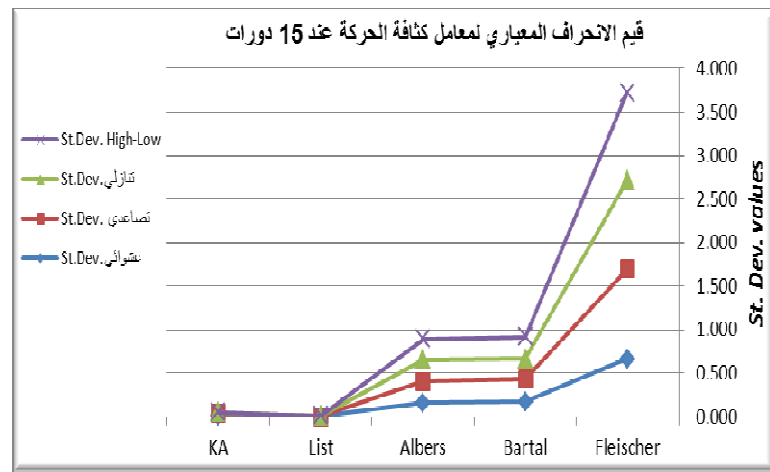
2. وقت الانتظار في صف الانتظار (Wq_1, Wq_2, Wq)

لقد أثبتت خوارزمية KA أنها الأفضل بالنسبة لقيمة الانحراف المعياري لمعاملات وقت الانتظار من بين جميع الخوارزميات، فهي الأفضل على الإطلاق في 8 حالات دراسية من أصل 12، كان منها 5 حالات اجتازت بها الجميع و3 حالات تطابق مع خوارزمية (Fleischer) عند توزيع القيم التنازليه لعدد الدورات 10 و 15، و 4 حالات اقربت بشكل كبير وبفارق الكسور البسيطة عن خوارزمية (Bartal) التي أعطت أفضل النتائج عند الـ 5 دورات، وتقارب منها خوارزمية (Albers)، ويمكن استنتاج الأشكال رقم (9(A,B,C)).

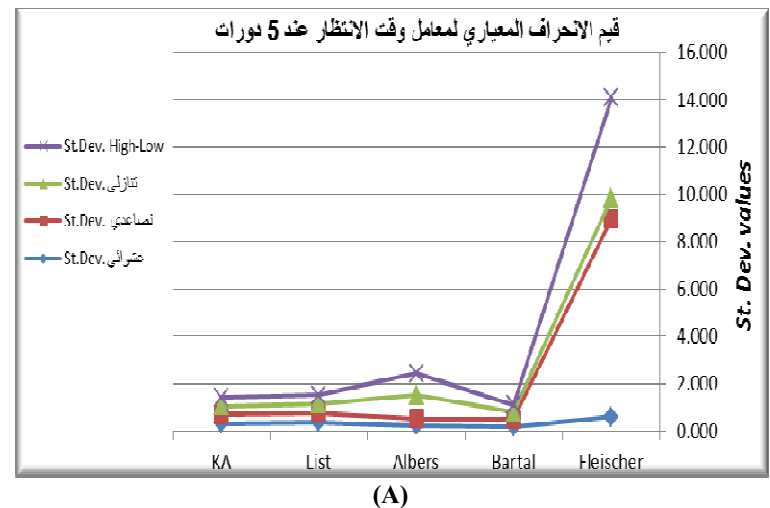
جدول 2: يوضح كيفية تقلب قيم المعامل (Threshold) لجميع القيم العشوائية

عشوائي	متقارب	تصاعدي	تنازلي
Thresh. ≤ 0	Thresh. ≤ 0	Thresh. ≤ 0	Thresh. ≤ 0
$0 < \text{Thresh.} \leq 0.2$	$0 < \text{Thresh.} \leq 0.05$	$0 < \text{Thresh.} \leq 0.4615$	$0 < \text{Thresh.} \leq 0.513$
$0.2 < \text{Thresh.} \leq 0.479$	$0.05 < \text{Thresh.} \leq 0.5$	$0.4615 < \text{Thresh.} \leq 0.7$	$0.513 < \text{Thresh.} \leq 0.8695$
$0.479 < \text{Thresh.} \leq 0.58$	$0.5 < \text{Thresh.} \leq 0.7$	$0.7 < \text{Thresh.} \leq 0.84$	$0.8695 < \text{Thresh.}$
$0.58 < \text{Thresh.} \leq 0.651$	$0.7 < \text{Thresh.} \leq 0.913$	$0.84 < \text{Thresh.}$	
$0.651 < \text{Thresh.} \leq 0.768$	$0.913 < \text{Thresh.}$		
$0.768 < \text{Thresh.} \leq 0.875$			
$0.875 < \text{Thresh.}$			

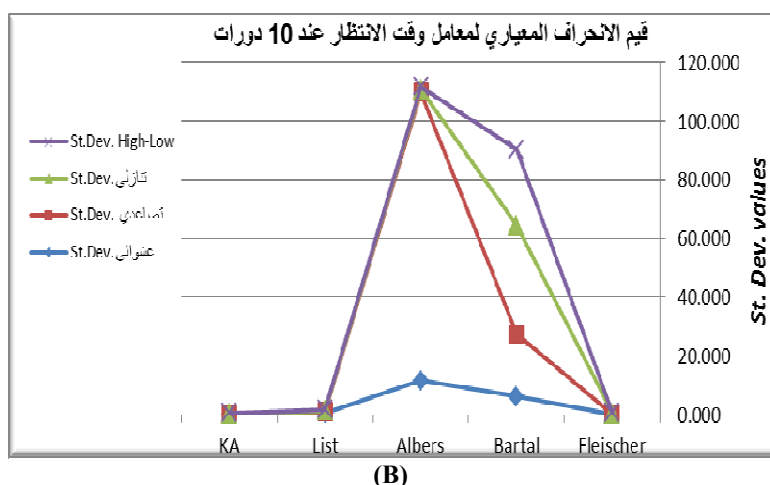




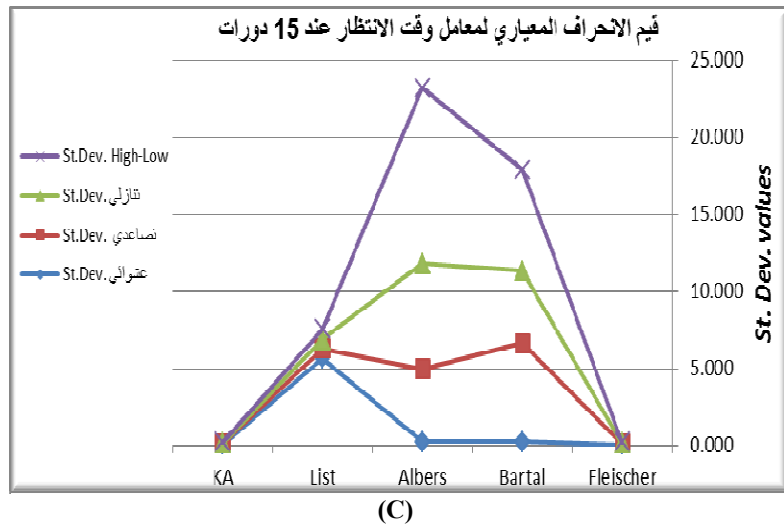
شكل 8: يوضح قيمة الانحراف المعياري لمعاملات كثافة الحركة عند (A) 5 دورات (B) 10 دورات (C) 15 دورات



(A)



(B)



شكل 9: يوضح قيم الانحراف لمعاملات وقت الانتظار عند (A) 5 دورات (B) 10 دورات (C) 15 دورات

3. عدد المهام عند صف الانتظار (Lq_1, Lq_2, Lq)
 أثبتت خوارزمية KA كفاءتها بإعطائها أقل عدد مهام تنتظر في صفوف الانتظار على الإطلاق مقابل جميع الخوارزميات، حيث أعطت أقل قيمة للانحراف المعياري وقدرة 2.093، 0.641، 0.192 (في حالة 5 و 10 و 15) دورة معالج على التوالي، وجميعها في حالة توزيع القيم العشوائية، وتطابقت خوارزمية (Fleischer) مع KA في حالتين من أصل 12 عند عدد الدورات (10 و 15) وكلاهما في حالة التوزيع التنازلي، ويمكن استنتاج الأشكال رقم (10)(A,B,C).

4. وقت انتظار المهام داخل النظام (Ws_1, Ws_2, Ws)
 تقدمت خوارزمية KA على الجميع في حالة عدد الدورات 10 و 15 دورة معالج، فمن أصل 12 حالة دراسية تقدمت KA بشكل مطلق بـ 5 حالات، وتطابقت مع (Fleischer) في 3 حالات وتقدمت (Bartal) (ويتبعها بشكل متقارب) (Albers) في 4 حالات، وكانت KA مقاربة لهم بفارق الكسور العشرية البسيطة، ويمكن استنتاج الأشكال رقم (11)(A,B,C).

5. اطول صف الانتظار داخل النظام (Ls_1, Ls_2, Ls)
 امتازت خوارزمية KA بامتلاكها أقل قيمة للانحراف المعياري لطول صف الانتظار داخل النظام على الإطلاق على بقية الخوارزميات عند 10 و 15 دورة معالج، في 6 حالات من أصل 12 وتطابقت مع (Fleischer) في حالتين، أما خوارزمية (Bartal) (ويتبعها) (Albers) فقد تقدمت في 4 حالات عند ـ 5 دورات للمعالج واقتربت KA منها بفارق الكسور العشرية البسيطة، ويمكن استنتاج الأشكال رقم (12)(A,B,C)).

تحليل سلوك المعاملات قيد الدراسة
 بالنظر إلى جميع حالات عدد الدورات نجد أن أفضل قيم للمعاملات قيد الدراسة لخوارزمية KA قد كانت عند 5 دورات فلم ينافسها غير خوارزمية (List) (Bartal) بسيط، أما في حالة

10 و 15 دورة فلقد أقربت KA بفارق الكسور العشرية ولكن لم تتجاوزها في أي نوع من توزيعات القيم العشوائية (عشوائي، تصاعدي، تنازلي، متقلب). من خلال الرسوم الإحصائية لسلوك قيم المعاملات قيد الدراسة المبينة في الأشكال رقم (13)(A,B,C) والتي تم اختيارها بشكل عشوائي من بين 23 حالة دراسية لمعامل (Threshold) لخوارزمية KA التي تم الإشارة إليها سابقاً، نجد أن سلوك هذه المعاملات ثابت ومتقارب إلى حد كبير ومرتبط مع عدد الدورات بغض النظر عن نوع توزيع القيم العشوائية التي لم تؤثر على سلوك هذه القيم، حيث ثلّاحظ أن الأشكال السابقة متشابهة من حيث طبيعة سلوكها، وفي حالة متابعة كل معامل على حدا لتبيّن أنه يسلك سلوكاً متشابهاً تقريباً. مثل ذلك لعدد الدورات 10 و 15 دورة ولمختلف توزيع القيم العشوائية ظلّاحظ الأشكال رقم (13)(B,C) لتبيّن أنها متشابهة رغم اختلاف توزيع القيم العشوائية.

CONCLUSIONS

لقد تم تصميم وتنفيذ خوارزمية KA الخلطة من خوارزميتي (Fleischer) و(Bartal)، وهي أكثر كفاءة منهما وذلك بسبب الدور الفعال لأساليب بحوث العمليات وما قدمته نظرية صفوف الانتظار من تحسين لعمل خوارزميات جدولة المعالج. بالنظر إلى جميع حالات عدد الدورات نجد أن أفضل قيم للمعاملات قيد الدراسة لـ KA قد كانت عند 5 دورات فلم ينافسها غير خوارزمية (List) (Bartal) بسيط، أما في حالة 10 و 15 دورة فلقد أقربت خوارزمية (Fleischer) من KA بفارق الكسور العشرية ولكن لم تتجاوزها في أي نوع من توزيعات القيم العشوائية.
 شكل رقم (14) يلخص عدد الحالات التي تميزت بها كل خوارزمية لتحليل نتائج الانحراف المعياري لـ 12 حالة دراسية تم تطبيقها على أفضل نتائج لخوارزمية KA، في حين يلخص

جدول رقم (3) العلاقة بين المعاملات قيد الدراسة مع عدد الدورات لجميع الخوارزميات لنموذج صف الانتظار وما يقابلها من الخوارزمية المقترنة.

التوصيات RECOMMENDATIONS

استخدام خوارزمية KA أسوأ ببقية خوارزميات الجدولة لحل مشكلة جدولة الوصول المباشر للمهام، وذلك باعتماد بيانات حقيقة لوصول المهام مأخوذة من شركات عاملة كشركة (Intel) و (AMD) لتقييم سلوك خوارزمية KA، واعتمادها كطريقة جدولة فعالة.

بسبب التحسين الذي قدمته بحوث العمليات لخوارزميات الجدولة، نوصي باستدامها خاصة في الحالات التي تحاول إيجاد الأسلوب الأمثل لمواردها.

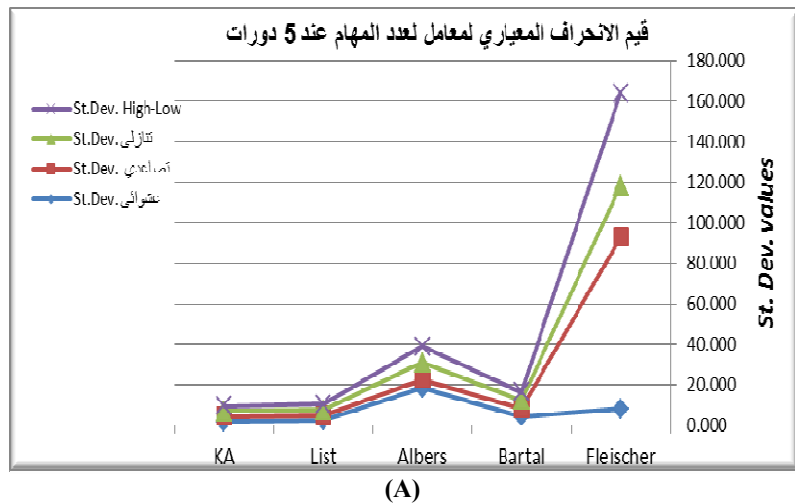
الدراسات المستقبلية FUTURE STUDIES

- حيث أن خوارزمية KA قد أظهرت أفضل النتائج نتيجة دمج خوارزميتين فقط، لذا يقترح الباحث عمل خوارزمية

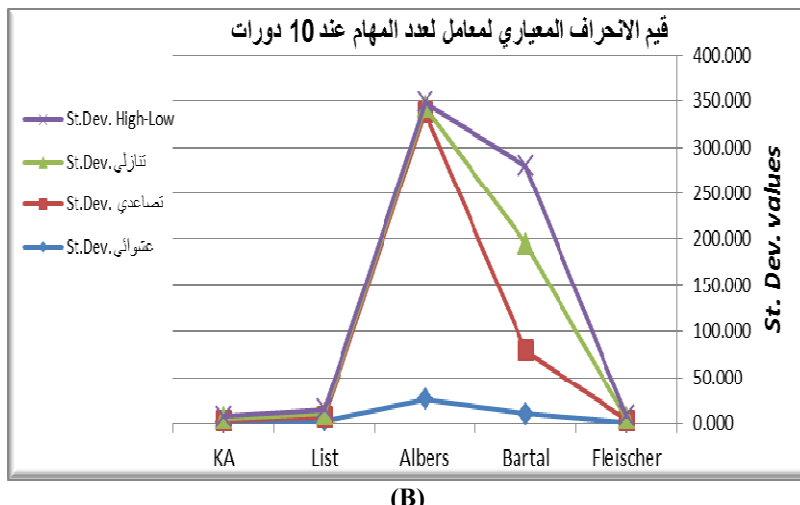
مزجيه من جميع الخوارزميات الأربع، أو كل اثنان أو ثلاثة معاً وذلك بعد دراسة سلوك المعاملات قيد الدراسة، ومن ثم تطوير شرط عمل الخوارزمية الجديدة.

- استخدام أسلوب آخر من أساليب بحوث العمليات لتطوير مجال عمل الحاسوب وال المجالات الأخرى لما قدمته من تحسين وتطوير لخوارزميات جدولة المعالج، كاستخدام البرمجة الديناميكية (Dynamic Programming) لتقسيم البرامج المعقّدة (التي يتم تنفيذها على شبكات الحاسوب العملاقة) إلى مجموعة برامج صغيرة تتفّق كل منها على جانب، ومن ثم يتم تجميع الحلول الفرعية لتكون الحل الأمثل للمشكلة الأصلية.

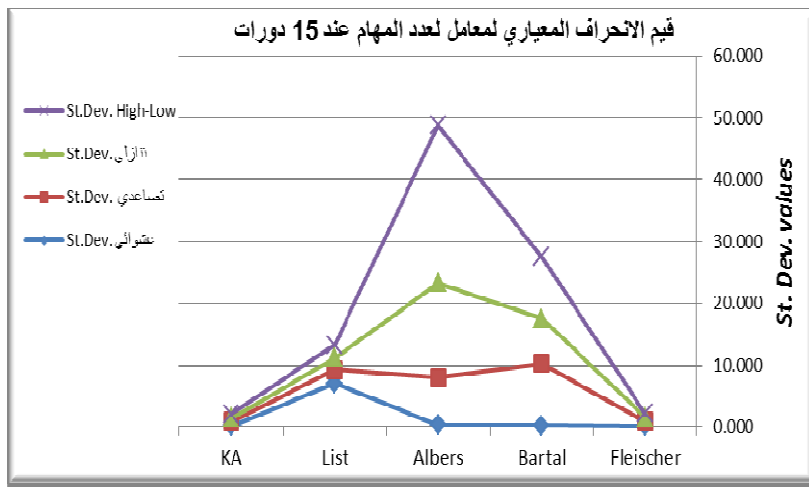
- أعداد دراسة بحثية لمحاكاة عمل نماذج شبكات صنوف الانهيار وخاصة ما يتعلق بالحواسيب مثل شبكة الطوابير المفتوحة والمختلطة ونموذج الخادم центральный، كمحاولة لتحسين أسلوب عملها معتمدين على علم بحوث العمليات.



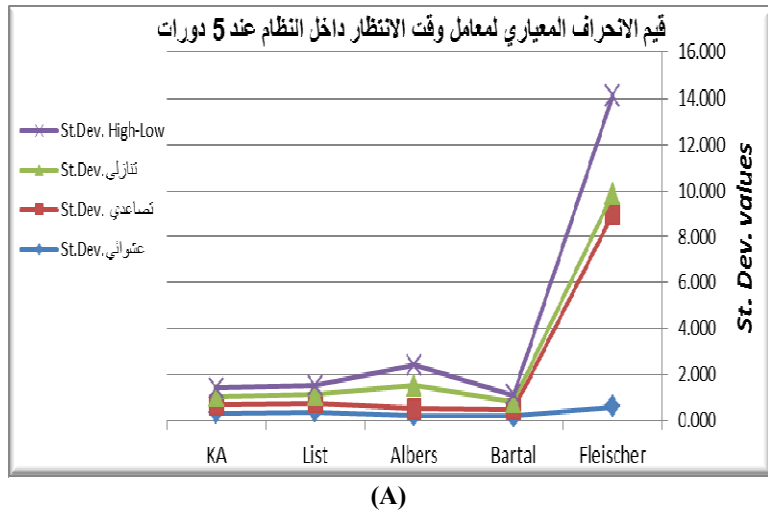
(A)



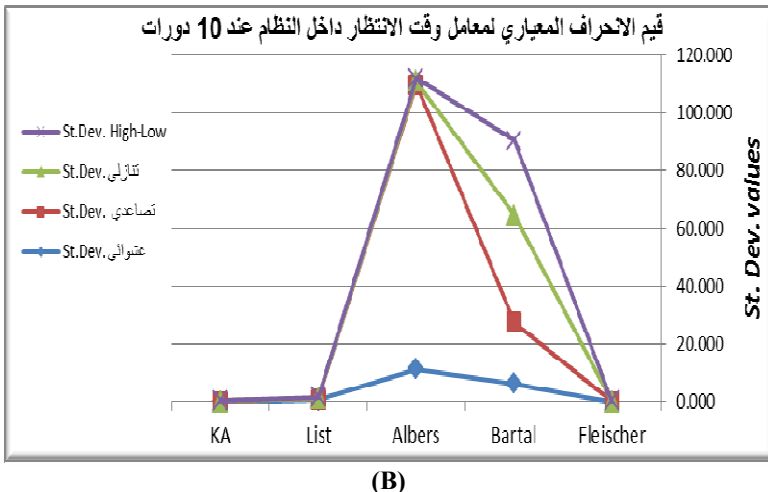
(B)



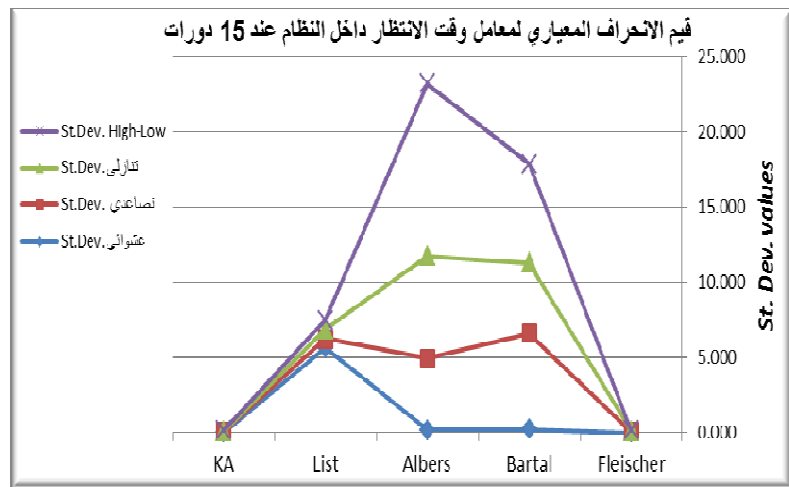
شكل 10: يوضح قيم الانحراف المعياري لمعاملات عدد المهام عند (A) 5 دورات (B) 10 دورات (C) 15 دورات



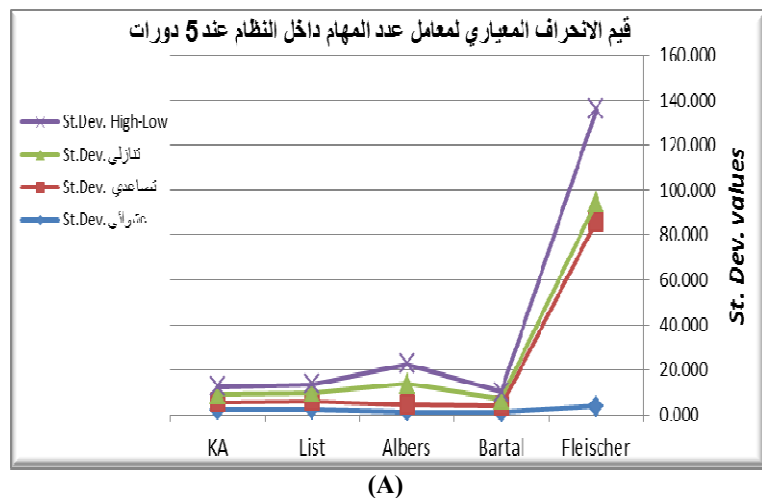
(A)



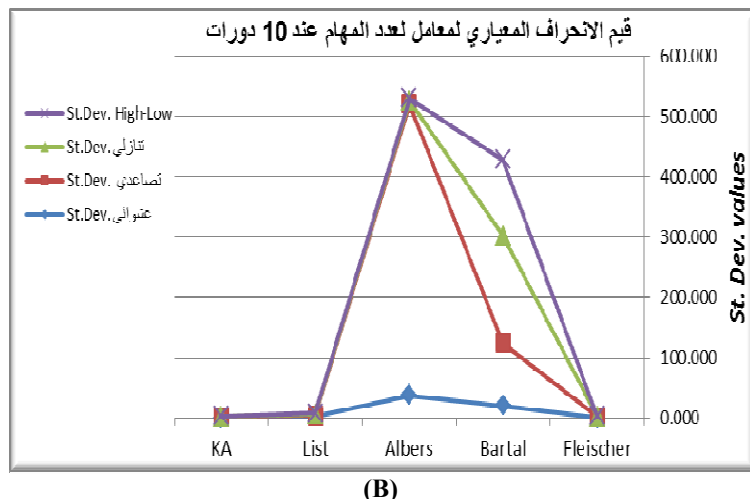
(B)



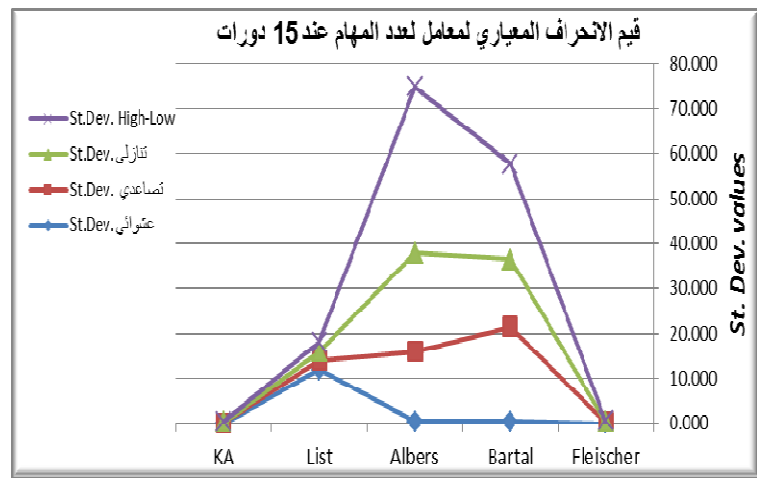
شكل 11: يوضح قيم الانحراف المعياري لمعاملات وقت الانتظار عند 5 (A) دورات (B) 10 دورات (C) 15 دورة



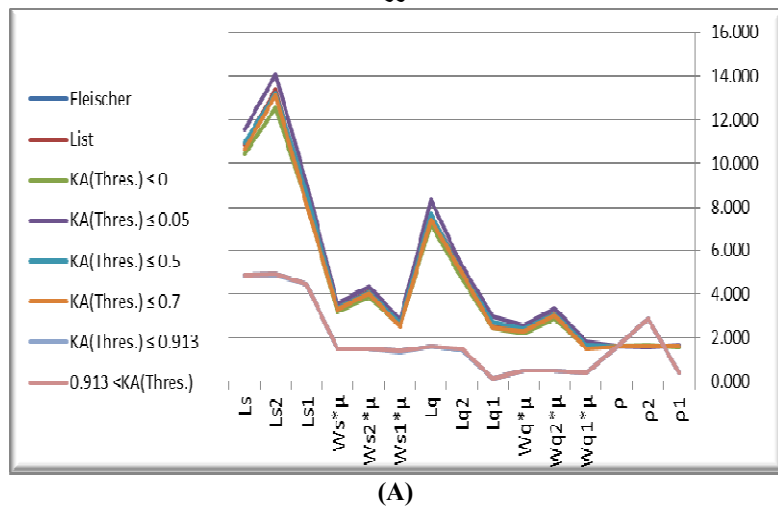
(A)



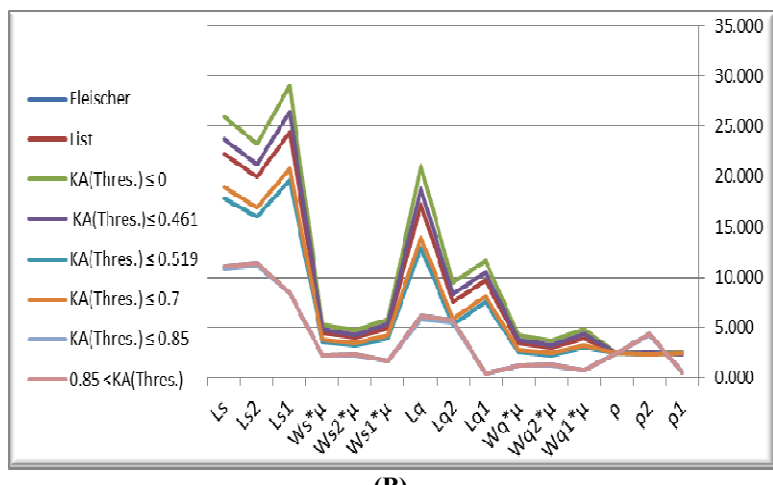
(B)



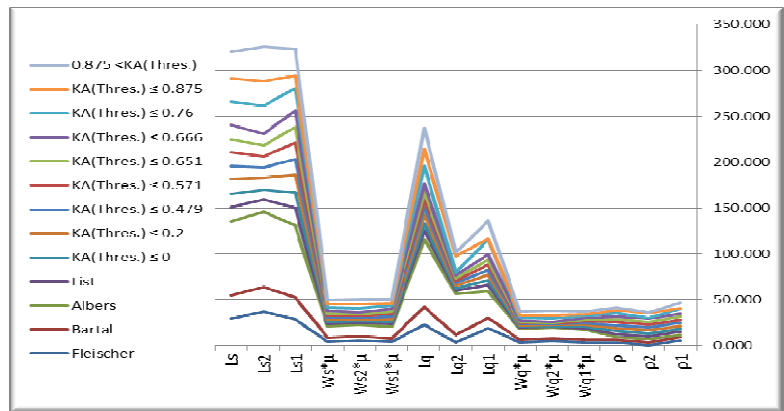
شكل 12: يوضح قيم الانحراف المعياري لمعاملات عدد المهام داخل (A) النظام عند 5 دورات (B) النظام عند 10 دورات (C) النظام عند 15 دورة



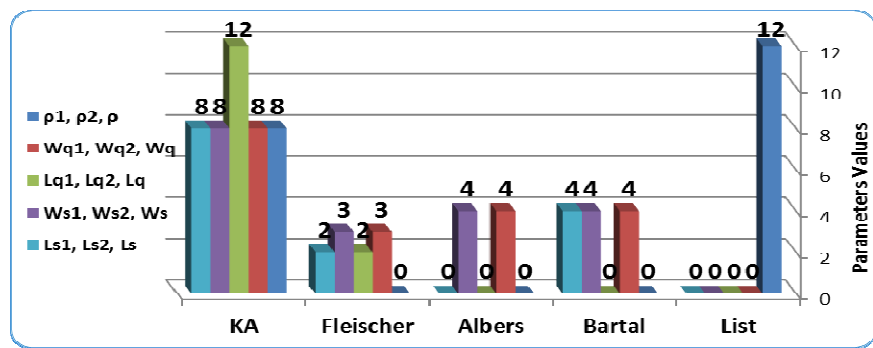
(A)



(B)



شكل 13: سلوك معاملات قيد الدراسة لجميع الخوارزميات مقابل جميع حالات KA عند (A) 5 دورات (B) 10 دورات (C) 15 دورات للتوزيعية المتقابلة مع حذف القيم الشاذة



شكل 14: يوضح عدد الحالات التي تميزت بها كل خوارزمية لتحليل نتائج بيانات الانحراف المعياري

جدول 3: يوضح العلاقة بين المعاملات قيد الدراسة مع عدد الدورات لجميع الخوارزميات

المعامل	Graham's List	Bartal	Albers	Fleischer	KA
ρ_1 ρ_2 ρ	ذات علاقة عكسية مع عدد الدورات	ذات علاقة عكسية مع عدد الدورات	ذات علاقة عكسية مع عدد الدورات	ذات علاقة عكسية مع عدد الدورات	ذات علاقة عكسية مع عدد الدورات
W_{q1} W_{q2} W_q	مقاربة Bartal طردي معتدل طردي معتدل	أعلى قيمة شاذة أعلى قيمة شاذة أعلى قيمة شاذة	علاقة عكسية مقاربة Bartal مقاربة Bartal	علاقة عكسية عكسي معتدل عكسي معتدل	علاقة عكسية واضحة تمتاز عن الجميع
L_{q1} L_{q2} L_q	أعلى قيمة شاذة أعلى قيمة شاذة علاقة متقابلة	أعلى قيمة شاذة أعلى قيمة شاذة أعلى قيمة شاذة	علاقة عكسية علاقة طردية أعلى قيمة شاذة	علاقة عكسية علاقة عكسية عكسي حاد	علاقة طردية واضحة تمتاز عن الجميع
W_{s1} W_{s2} W_s	أعلى قيمة شاذة علاقة طردية طردي معتدل	أعلى قيمة شاذة أعلى قيمة شاذة أعلى قيمة شاذة	علاقة عكسية أعلى قيمة شاذة أعلى قيمة شاذة	علاقة عكسية علاقة عكسية علاقة عكسية	ذات سلوك مستقر وهو الأقل من بين جميع الخوارزميات
L_{s1} L_{s2} L_s	أعلى قيمة شاذة أعلى قيمة شاذة علاقة متقابلة	أعلى قيمة شاذة أعلى قيمة شاذة أعلى قيمة شاذة	عكسي حاد مقاربة Bartal مقاربة Fleischer	عكسي حاد عكسي حاد عكسي حاد	علاقة عكسية واضحة تمتاز عن الجميع

REFERENCES المصادر

- [1] زياد القاضي، (2004) المفاهيم الأساسية في أنظمة التشغيل، الطبعة الأولى، مكتبة المجتمع العربي للنشر والتوزيع، صفحة .29.
- [2] قصي حميد السلامي، (2012) استخدام أساليب بحوث العمليات لتحسين كفاءة جدولة صنوف الانتظار لزيادة سرعة معالجات الحاسوب، أطروحة دكتوراه، جامعة أم درمان الإسلامية، كلية الاقتصاد والعلوم السياسية، قسم الإحصاء.
- [3] قصي حميد السلامي، أحمد محمد رؤوف، دراسة تطبيقية لخوارزميات جدولة المهام المباشرة لمتعدد المعالجات باستخدام تقنيات بحوث العمليات، مؤتمر الدراسات العليا السنوي الرابع، جامعة النيلين، كلية الدراسات العليا، 2012.
- [4] محمد إبراهيم العدوى، المعالجات المقيدة Microprocessors(2000) Intel80186 – Intel8086 – Z80 – Intel8085 –) Pentium – Intel80486 – Intel80386 – Intel80286، الدار الدولية للاستثمارات الثقافية، مصر، الطبعة الأولى.
- [5] Albert Y.Z., Matthew C., and Stephan O.lariu, (1998) A Framework for Reinforcement-Based Scheduling in Parallel Processor Systems, IEEE Transactions on Parallel and distributed systems, Vol.9, No.3, pp.249.
- [6] Hamdy A. Taha, Operations Research: An Introduction, by Pearson Education, Inc., Eighth Edition, pp.545, 2007.
- [7] Raihan Al-Ekram, (2004) Online Multiprocessor Scheduling. <http://arxiv.org/pdf/0406001.pdf>
- [8] Peter Brucker, (2007) Scheduling Algorithms, Fifth Edition, Springer Berlin Heidelberg New York, pp.317.
- [9] Susanne Albers, Bianca Schröder, (2002), An Experimental Study of Online Scheduling Algorithms, ACM Journal of Experimental Algorithmics, vol(7), pages 154-160.
- [10] Zexuan Zhu, Y. S. Ong and M. Dash, (2007), Wrapper-Filter Feature Selection Algorithm Using A Memetic Framework, IEEE Transactions on Systems, Man and Cybernetics - Part B 37 (1), pp.70-76.